

## 영동지구의 야초지와 토양에 대한 화학적, 생태학적 연구

朴 奉 奎 · 韓 珍 順  
(이화여자대학교 문리과대학 생물학과)

### Chemical and ecological studies of grasslands and soils of the Young-dong in Seoul, Korea

Park, Bong Kyu and Han, Jin Soon

#### ABSTRACT

This study was carried out to find out the correlation between plant groups and environmental gradient in the native grassfield near Kang Nam Express Terminal from August 26 to september 15, 1977.

The correlations among plant species were calculated by using the method of  $\chi^2$  and the various relationships among soil environmental gradients were grouped by means of correlation coefficient.

As a result, both the species and the soil environmental factors could be subdivided into four groups, and the four groups of the native grassfield were turned out to be correlated with the four groups of soil environmental factors.

The first plant group (*Panicum dichotomiflorum*, *Chenopodium album*, *Bidens ferndosa*, *Humulus japonicus*, *Echinochloa macrovotbi*, *Roripa sublyrata*, *Polygonum longisetum*, *Rumex japonicus*, *Alopecculus amurensis*, *Potentilla fragariooides*, *Centipeda minima*, *Bekmannia erucaeformis*) was formed in the relevé 1~10 reagions, organic matter by Turin's metohd, Total N, Exchange Ca and total of Exchange K, Na,Mg,Ca were abundant.

The second plant group (*Digitaria sanguinalis*, *Paltulaca oleracea*, *Echinochlea macrocovi*, *Cyperus amuricus*) was formed in the relvé 11~18 reagions, where Exchange Ca and total of Exchange K,Ng,Mg, Ca were little but Exchange Al and sand were aburdent.

In relvé 19~20 reagions, with much of Exchange Ca, total of Exchange K,Na, Mg, Ca, pH and a little Exchange Al, was found the third plant group (*Pycreus sanguinolentus*, *Cyperus amuricus*, *Ludwigia prostrata*, *Echinochloa echinata*, *Polygonum thunbergii*, *Salix glandulosa seedling*) The fourth plant group (*Cassia nomame*, *Polygnoium perfoliatum*, *Setaria viridis*, *Glocien ussuriensis*, *Lactuca indica*, *setaria glauca*, *Artemisia capillaris*, *Artemisia asiatica*, *Calamagrostis arundinacea*, *Kummerowia striata*, *Denothenra odorata*, *Artemisia japonica*, *Carey laceolata*) was formed in relvé 21~25 reagions, where organic matter by loss on ignition, Exchange Mg and Maximum water holding capacity were abundant but sand was a little.

Thus it can be concluded that there is a close relationship between the vegetation group classified by meaus of  $\chi^2$  and the environtal factors of soil devided by means of correlations coefficient.

## I. 서 론

종사이의 상관관계를 이루한 분류는 Goodall(1953)에 의하여 도입된 후, William와 Lambert(1959, 1960, 1961)도 이와 비슷한 연구를 하였다. 이러한 비교적 객관적인 분류에는 막대한 양의 계산을 요구하므로 컴퓨터로 계산을 하였으며, 양과 음의 상관을 사용하였다. De Vries(1953)는 Holland의 grassland를 Huber(1955)는 Switzerland에서, Welch(1960)는 Tanganyika의 Woodland를, Agnew(1961)는 North wales 지역에서 종구름을 찾아내고 구분하기 위하여 각종간의  $x^2$ 값의 역수를 이용하여 이차원적인 도형을 만들었다.

식생과 환경과의 관계에서, Poore(1956)는 지상부 식생의 구름형 성은 生育地 환경요인의 복합적인 상호 작용의 결과라고 강조하였고, 또한 Babv(1971)는 모래언덕에 자라고 있는 *Boreria articulare* 같은 종의 분포는 모래의 함량, pH 등에 의하여 좌우된다고 하였고, Greig-Smith(1961)는 현저하게 균질한 식생에서는 극소한 환경요인의 차이에 의하여 결정된다고 주장했다.

환경요인 분석에 대하여, Williams(1962)는 구름방법으로 하여야 된다고 강조하였고, Swan과 Dix(1965)는 Saskatchewan 지역의 초본과 관목 Ordination은 토양의 pH와 토성에 의하여 형성되었음을 밝혀냈다.

본 조사에서 저자는 균질하다고 생각되는 야초지 식생과 토양환경구배와의 관계를 비교 검토하였다.

## II. 조사지의 개요

본 조사는 1977년 8월 26일에서 9월 15일 동안에 걸쳐서 조사하였다. 조사지는 서울시 성동구 영동(강남고속터미널) 주변의 종조성이 균질하다고 생각되는 야초지로서  $37^{\circ}34'N$ ,  $126^{\circ}58'E$ 에 위치하고 있으며, 연평균 온도는 약  $12^{\circ}C$ , 강우량은 약 1200mm이다.

조사지의 넓이는  $300 \times 675m$ 의 넓이며, 그중에서 평坦지를 제외한 경사지는  $20^{\circ} \sim 30^{\circ}$  가량의 인위적으로 조성된 뚝이었다. 이 지역의 평坦지(relvé 1~10의 위치)는 이전에 경작되었던 곳으로서, 새로운 고속터미널을 만들기 위하여 방치된 지역이었다. 그러므로 다른 황무지에 비해 비옥하여서, 초고가 1~2m 가량의 초본이 무성하였고, *Panicum dichotoflorum*, *Bidens feonodesa* L.(서양 도깨비바늘), *Erethitites hieraci folia*(L) Raf(물쑥갓)와 같은 귀화종을 볼 수 있었다.

조사지의 모암은 화강암이며, 토성은 쇠양토, 미사질 양토, 사양토, A층의 토색은 황갈색, 붉은갈색, 어두운 갈색이며 pH는 5.2~7.2이었다. Turin's method에 의하여 측정한 유기물은 0.3~2.1% 이었으며, Loss on ignition에 의하여 측정한 유기물은 2.3~8.6%이었고 치환성 Al은 0~3290mg/100g이었다. 그리고 치환성 K, Na, Mg, Ca의 합계는 1.86~9.26me/100g 이었고 함수량은 18~33% 이었으며 최대 용수량은 38~55%이었다.

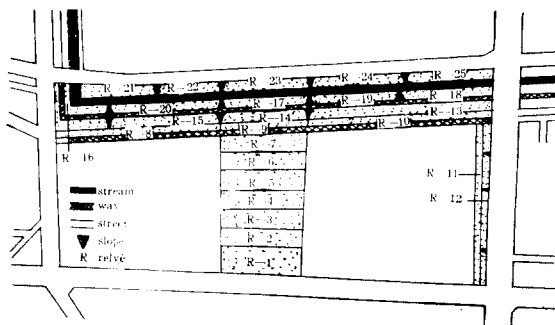


Fig. 1. Lockon of 25 relvés.

## III. 조사내용 및 조사방법

### A. 야초지 식생

#### 1. 식생조사

종조성이 균질한 곳에서 25relvé를 계통추출법으로 선정하여 각 relvé에서  $2 \times 2\text{sq.m}$  방형구를 random으로 5개씩 총 125방형구를 추출하였다. 조사척도는 빈도와 피도, 다양성으로서, 125방형구에 출현한 식물의 종과 피도를 기록하였으며 이것을 25relvé로 정리하였다.

각 방형구에 출현하는 종의 피도가  $2 \times 2\text{sq.m}$ 인 지표면의 80~100%일 때에는 5, 60~80%일 때에는 4, 40~60%일 때에는 3, 20~40%일 때에는 2, 20%이하 일 때에는 1, 아주 드물게 출현 할 때에는 0.5로 하였다. 다양성은 각 relvé에서 출현종수로 표현하였으며 빈도는 각종의 출현 relvé수로 하였다.

#### 2. $x^2$ 산출

조사지 125방형구에 출현한 종은 총 89종이었으며 5개 방형구 이하에서 출현한 종만을 제외하면 41종이었다. 이 41종에 대한 각종간의 상관관계를 보기 위하여 컴퓨터에 의하여 41종이 출현한 방형구와 방형구의 합계를 계산하였으며, 41개의 각종들이 쌍으로 출현하는

방형구의 수를 찾아 조합  $\frac{n(n-1)}{2}$  공식에 의하여, 820번의  $2 \times 2$  분활표를 작성 하여서, Yates수정식, 즉  $x^2 = \frac{(ad-bc-n/2)n}{(a+b)(c+d)(a+c)(b+d)}$ 에 의하여  $x^2$ 값을 계산하였다.

계산된  $x^2$ 값을 양과 음의 상관으로 구별 하였으며 유의수준 1%와 5%로 표시하였다. 양의 상관에 관계된 자종들의 상관을  $x^2$ 값의 역수를 취하여서 도형으로 이끌었다.

### B. 토양환경구배

환경요인중의 토양이 식물의 구름형성에 어떠한 영향을 미치는가를 알아보기 위하여 다음과 같은 토양성분분석을 하고, 상관계수를 구하였다.

#### 1. 토양분석

토양시료는 각 relvé의 지표면에서 10cm깊이의 A층에서 추출하였다.

##### 가. 토양유기물

토양의 유기물을 양은 loss on ignition과 turin's method에 의하여 측정하였다.

##### 나. 토양무기물

(1) 총N량 : Kjeldahl법

(2) 유효P : Lancaster법

(3) 치환성 Al: 1N KCl 침출액을 사용하였으며 Aluminon 비색법에 따랐다.

(4) 치환성 K, Na, Mg, Ca: 침출액 1N-CH<sub>3</sub>CONH<sub>4</sub>를 사용하였으며 원자흡광분광계(Atomic Absorption spectro meter)로 측정하였다.

다. 토양 pH: 토양과 물의 비를 1:5로 하여 Bekman pH meter로 측정하였다.

마. 모래함량: 기계적방법으로서 토성의 쟁사(0.50~0.25mm), 세사(0.25~0.10mm)의 크기에 해당하는 모래를 420μ과 210μ체로 쳐서 분리하였다.

#### 2. 상관계수 산출

조사지 25개 relvé에서 채취한 토양시료에서 구하여진 유기물(Loss on ignition), 유기물(Turin's method), 총N량, 유효P, 치환성 Al, 치환성 K,Na,Mg, Ca, 치환성 K,Na,Mg,Ca의 합계, 함수량, 최대용수량, pH, 모래의 함량이  $x^2$ 에 의한 식생 구름형성과 조사지 식물의 피도, 빈도에 어떠한 영향을 미치는가를 알아보기 위하여 자료인들에 대한 상관계수( $r$ )를 조합  $\frac{n(n-1)}{2}$  공식에 의하여 120번 구하였다.

상관계수( $r$ )에 대한 유의성 검정은 자유도를  $n-2$ 로 하여  $t=r\sqrt{\frac{n-2}{1-r^2}}$ 를 셈하고  $t(23)0.01=2.807$ 보다 큰 양의 상관에 대하여 \*\*로  $t(23)0.5=2.069$ 보다 큰 양

의 상관에 대하여 \*로 표시하였으며 음의 상관에 대하여도 마찬가지로 \*\*, \*로 표시하였다.

토양내의 변량들에 대한 상관계수는 다른요인들의 영향을 받아서 이루어진 결과이므로 평상관계수를 사용하지 않고 단상관계수를 이용하였다.

또한 유의적인 양의 상관과 음의 상관을 각각 상관계수 값의 역수를 취하여서 상호간의 유연관계를 이차원적인 도형으로 나타냈다.

이 방법은 Agnew(1961)가 상관관계가 있는 종구물을 구름짓기 위하여  $x^2$ 값의 역수를 가지고 이차원적인 도형으로 이끈 것에 착안하여, 저자도 환경요인은 복합적인 상호작용을 하므로 토양환경요인중의 상관관계가 있는 상관계수( $r$ )값의 역수를 가지고 이차원적인 도형으로 이끌었다.

## IV. 조사결과 및 고찰

### A. 야초지식 생

#### 1. 식 생

조사지소의 식생은 대부분 1년~다년생 초본이었으며 복본인 경우는 종자에서 썼든것이었다.

조사지 25 relvé에서 출현한 종, 출현빈도, 피도, 다양성은 표 1과 같다.

표 1에서와 같이 돌피, 망초, 차풀, 머느리배꼽, 방통산이, 털의장풀, 강아지풀, 들콩 및 사월쪽은 전지역에 고루 분산되어 있었으며 기장대풀속, 서양도깨비바늘, 한삼덩굴, 돌피, 개갓냉이, 개여뀌, 소크쟁이, 뚝새풀, 양지꽃, 중대가리, 명아주 및 개퍼는 높은 피도와 빈도로서 relvé 1~10지역에 많이 분포되어 있었고 바랭이, 쇠비름, 돌피 및 방통산이는 relvé 11~18지역, 방통산이대가리, 방통산이, 여뀌바늘, 돌피, 고단이 및 버드나루의 어린싹은 relvé 19~20지역, 차풀, 머느리배꼽, 강아지풀, 들콩, 왕고들빼기, 금강아지풀, 사월쪽, 실새풀, 매듭풀, 달맞이꽃, 제비쪽 및 진의털은 relvé 20~25지역 특히 24, 25지역에 많이 분포되어 있었다.

#### 2. $x^2$ 값

컴퓨터에 의하여 구하여진 41종이 출현한 방형구의 합계와 41종 각종들의 쌍이 같이 출현하는 방형구의 수는 표 2와 같다. 표 2에서 □안의 수자는 A, B 두 종이 같이 출현한 방형구의 수를 0은 같이 출현한 방형구의 수가 없음을 뜻하며 또한 학명옆의 ( )안의 수자는 방형구의 합계를 뜻한다.

표 2를 기초로 하여 계산된  $x^2$ 값에 대한 양과 음의 상관 1%와 5%의 유의수준 표 3과 같다.

표 2에서 출현한 방형구의 합계를 크기 순서로 보면

**Table 1.** Cover, frequency and diversity of appearance species in 25 relevés

**Table. 2.** The appearance quadrat number of each species pairs and total appearance quadrat number of 41 species in 125 quadrat of 25 relvés.

<i>Panicum dichotomiflorum</i> (49)	
+	<i>Cyperus mindorensis</i> (45)
+	<i>Ridens frondosa</i> (40)
+	<i>Hemerocallis laciniata</i> (38)
+	<i>Digitaria sanguinalis</i> (62)
+	<i>Partula glabra</i> (59)
+	<i>Urtica punctulata</i> (8)
+	<i>Echinochloa macrorhiza</i> (56)
+	<i>Ruppia subuliflora</i> (38)
+	<i>Spiraea maladeensis</i> (63)
+	<i>Artemisia selengensis</i> (15)
+	<i>Polygonum longisetum</i> (47)
+	<i>Artemisia sibirica</i> (15)
+	<i>Rumex japonicus</i> (27)
+	<i>Carex homostachys</i> (11)
+	<i>Alopochen amurensis</i> (15)
+	<i>Potentilla fragarioides</i> (1)
+	<i>Centipeda minima</i> (20)
+	<i>Polygonum perfoliatum</i> (29)
+	<i>Ivrea sanguinolentus</i> (12)
+	<i>Cyperus amuricus</i> (39)
+	<i>Cornelia communis</i> (28)
+	<i>Satureja coronaria</i> (6)
+	<i>Equisetum arvense</i> (14)
+	<i>Oenanthe erucaeformis</i> (24)
+	<i>Ludwigia prostrata</i> (24)
+	<i>Carex nevissarpa</i> (6)
+	<i>Setaria viridis</i> (53)
+	<i>Echinocloa echinata</i> (18)
+	<i>Glycine ussuriana</i> (2)
+	<i>Lactuce indica</i> (10)
+	<i>Setaria glauca</i> (19)
+	<i>Artemisia capillaris</i> (34)
+	<i>Artemisia asiatica</i> (45)
+	<i>Calamagrostis arundinacea</i> (1)
+	<i>Polygonum thunbergii</i> (4)
+	<i>Kummerowia striata</i> (21)
+	<i>Oenothera odorata</i> (10)
+	<i>Salix glandulosa</i> (11)
+	<i>Artemisia japonica</i> (5)
+	<i>Carex lanceolata</i> (8)

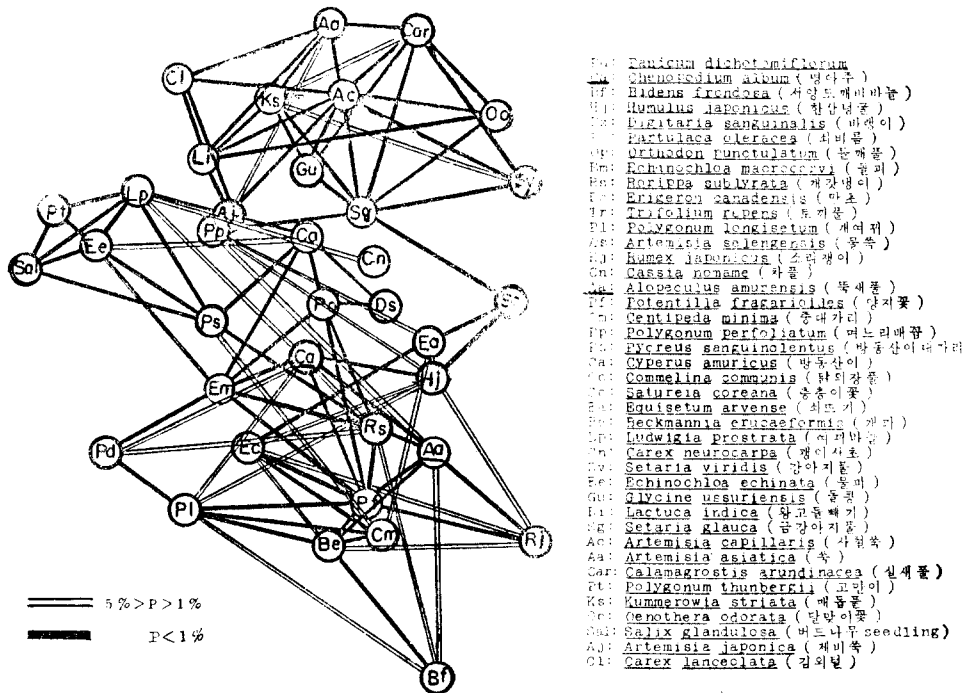
[ ] : Appearance quadrat number of each species pairs  
( ) : Total appearance quadrat number of each species

**Table. 3.** The relations ships between the positive and negative species demonstrated by a compleate chi square matrix for 125 quadrats

		5% > P > 1%	P < 1%
Positive association		+	++
Negative association		-	--
<i>Panicum dichotomiflorum</i>	+		
<i>Cyperus mindorensis</i>	+		
<i>Ridens frondosa</i>	+		
<i>Hemerocallis laciniata</i>	+		
<i>Digitaria sanguinalis</i>	+		
<i>Partula glabra</i>	+		
<i>Orthocarpus punctulatus</i>	+		
<i>Echinochloa macrorhiza</i>	+		
<i>Ruppia subuliflora</i>	+		
<i>Spiraea maladeensis</i>	+		
<i>Polygonum longisetum</i>	+		
<i>Artemisia selengensis</i>	+		
<i>Rumex japonicus</i>	+		
<i>Carex homostachys</i>	+		
<i>Alopochen amurensis</i>	+		
<i>Potentilla fragarioides</i>	+		
<i>Centipeda minima</i>	+		
<i>Polygonum perfoliatum</i>	+		
<i>Ivrea sanguinolentus</i>	+		
<i>Cyperus amuricus</i>	+		
<i>Cornelia communis</i>	+		
<i>Satureja coronaria</i>	+		
<i>Equisetum arvense</i>	+		
<i>Oenanthe erucaeformis</i>	+		
<i>Ludwigia prostrata</i>	+		
<i>Carex nevissarpa</i>	+		
<i>Setaria viridis</i>	+		
<i>Echinocloa echinata</i>	+		
<i>Glycine ussuriana</i>	+		
<i>Lactuce indica</i>	+		
<i>Setaria glauca</i>	+		
<i>Artemisia capillaris</i>	+		
<i>Artemisia asiatica</i>	+		
<i>Calamagrostis arundinacea</i>	+		
<i>Polygonum thunbergii</i>	+		
<i>Kummerowia striata</i>	+		
<i>Oenothera odorata</i>	+		
<i>Salix glandulosa</i>	+		
<i>Artemisia japonica</i>	+		
<i>Carex lanceolata</i>	+		

돌풀(67), 바랭이(62), 망초(62), 강아지풀(53), 기장 대풀속(48), 개여뀌(46), 쑥(45), 명아주(44) 순서이며 표 1에서 바랭이는 relvé 19~25지역 쑥은 relvé ~

7지역에 출현하지 않음을 볼 수 있었다. 이러한 현상은 표 3에서 바랭이는 relvé 19~25식물과 쑥은 relvé 1~7식물과 음의 반응을 보임을 알수가 있었다.



**Fig. 2.** The species connected by line were positively correlated as determined by application of the chi-square test.

표 3에서 양의 관계를 도형으로 그린 결과는 그림 2와 같다. 이 도형에서  $x^2$ 값의 역수에 기초를 두어서 그린 각종간의 거리는 3차적인 공간에生育하고 있는 식물간의 관계를 이차원적인 평면에 유도한다는 것은 정확하게 일치할수 없다고 Muller-Dombois(1974)가 말한바와 같이 실제로형에서 정확하게 일치하지 않음을 알수가 있었다. 그러나 이 도형은 종사이의 강하고 약한 정도의 상관을 나타내고 종의 구룹을 나타내고 있음을 인지할수 있다. 도형에서 구룹의 구별은 상관이 밀접하지 않은 것에 의하여 분리되며 종구룹은 생태적 관계를 명백하게 나타낼수 있다.

#### <구룹 1> 그림 2의 아래쪽 부분

기장대풀속, 명아주, 서양도깨비바늘, 한삼년풀, 돌피, 개갓냉이, 개여뀌, 소리쟁이, 똑새풀, 양지꽃, 중대가리, 개피

#### <구룹 2> 그림 2의 가운데 부분

바랭이, 쇠비름, 돌피, 방동산이,

#### <구룹 3> 그림 2의 원쪽 부분

방동산이대가리, 방동산이, 여뀌바늘, 물피, 고단이, 벼드나무의 어린싹

#### <구룹 4> 그림 2의 위쪽부분

차풀, 며느리배꼽, 강아지풀, 돌콩, 왕고들빼기, 금강아지풀, 사철쑥, 쑥, 실새풀, 매듭풀, 달맞이꽃, 계비쑥 및 김의털의 식생으로 구별됨을 알수가 있었다.

$x^2$ 에 의한 구룹형성을 표 1에서 보여준 식생과 비교해본 결과 구룹 1은 relv<sup>e</sup> 1~10식생과 구룹 2는 relv<sup>e</sup> 11~18식생, 구룹 3은 relv<sup>e</sup> 19~20식생, 구룹 4는 relv<sup>e</sup> 21~25식생과 특히 24, 25지역식생과 거의 일치함을 볼 수 있었다.

#### B. 토양환경구배

##### 1. 토양요인

조사지 25개 relv<sup>e</sup>의 토양의 유기물, 총N, 유효P, 치환성Al, 치환성K, Na, Mg, Ca, 치환성K, Na, Mg, Ca의 합계, 함수량, 최대용수량 pH 및 모래의 함량측정치와 조사지 25개 relv<sup>e</sup>의 식생의 퍼도, 빈도를 비교하여 보면 표 4와 같다.

##### 2. 상관계수 값

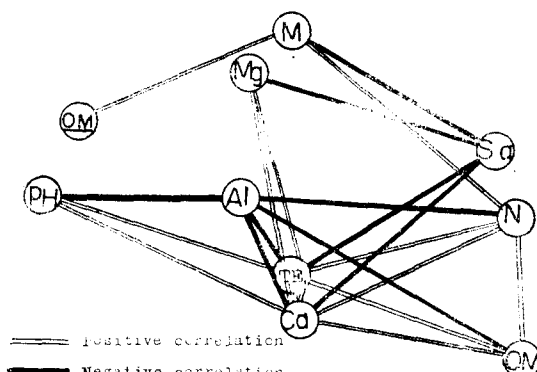
표 4의 각요인들의 상관계수와 유의수준 0.05와 0.01에 대한 양과 음의 상관은 표 5와 같으며 유의적인 토양요인들에 대한 상관계수값의 역수를 취하여서 도형으로 그린 결과 (그림 3)는 다음과 같다.

**Table 4.** Cover and frequency of vegetation, and soil organic matter, total N, available P, exchange Al, exchange K, Na, Mg, Ca, total of exchange K, Na, Mg, Ca, watercontent, maximum water holding capacity at the A-horizon of the soil in each relvés

Item relvé Unit	Cover	Frequ- ency	Organic matter Loss on Turinis- method % %	Mineral element						Soil water content %	pH	Sand Content %				
				Total N ppm	Av. P mg/ 100g	Exch. Al me/100g	Exch. K Na me/100g	Exch. Mg me/100g	Σ(K, Na, Mg, Ca) me/100g							
1	67	24	5.5	1.7	0.0791	48.0	124.9	0.11	0.29	1.83	6.35	8.9	45.7	5.55	22.9	
2	62	23	5.1	1.6	0.0693	47.6	0	0.12	0.29	1.37	7.4	9.18	16.1	45.8	6.7	23.1
3	67	22	4.4	1.3	0.0501	18.8	0	0.12	0.15	1.37	6.03	7.67	9.8	45.3	7.2	12.4
4	50.5	24	4.3	1.0	0.0445	14.0	0	0.05	0.15	1.41	5.99	7.6	10.3	47.4	7.15	17.7
5	61	23	4.6	1.1	0.0518	16.8	0	0.06	0.19	1.37	6.42	8.04	9.6	45.4	7.53	18.1
6	67.5	22	7.8	2.2	0.0218	20.4	691.4	0.05	0.19	1.50	6.67	8.41	20.8	57.3	5.19	22.2
7	53	23	5.8	1.4	0.0728	18.0	0	0.05	0.33	1.85	7.77	10.0	17.6	43.2	6.95	25.2
8	38.5	17	5.3	0.7	0.0301	41.2	0	0.07	0.13	1.37	6.56	8.13	11.8	46.2	6.75	20.7
9	52	24	5.6	1.1	0.0452	15.2	0	0.05	0.27	1.70	5.78	7.8	11.0	43.6	6.54	24.2
10	44	22	4.3	0.6	0.0224	35.2	44.5	0.07	0.26	0.95	4.2	5.48	7.0	50.5	6.02	18.0
11	43.5	23	2.3	0.3	0.0133	34.4	1,024.6	0.06	0.05	0.44	1.31	1.86	11.5	37.7	5.51	49.3
12	58.5	17	3.7	0.4	0.0067	18.8	1,666.0	0.09	0.11	0.66	2.6	3.46	6.8	38.3	5.67	44.3
13	42.5	22	4.8	0.5	0.1400	42.8	3,290.4	0.08	0.08	1.21	4.67	6.04	11.6	47.6	5.29	31.9
14	40	21	4.4	0.8	0.0294	48	849.7	0.06	0.18	1.32	3.99	5.55	15.5	45.8	5.7	25.7
15	33.5	15	6.7	0.7	0.0175	53.2	1,257.9	0.06	0.19	1.30	4.67	6.12	8.5	48.8	5.18	31.2
16	30	14	6.3	0.4	0.0084	42.8	1,832.6	0.06	0.14	1.21	3.73	5.14	6.9	45.6	5.45	35.9
17	50.5	25	8.7	1.1	0.0140	152.0	524.8	0.07	0.56	1.10	5.3	7.03	11.6	42.8	5.79	28.4
18	48	24	6.8	0.6	0.0175	20.8	1,915.9	0.07	0.15	1.39	4.67	6.28	8.1	47.5	5.25	32.2
19	41	22	6.0	0.9	0.0462	16.4	16.7	0.52	0.76	0.40	6.56	8.24	24.6	39.9	7.22	33.0
20	34.5	20	5.2	0.5	0.0091	26.8	133.3	0.11	0.48	1.19	4.62	6.40	23.4	42.1	6.91	37.1
21	40.5	21	5.4	1.0	0.0151	26.8	16.7	0.05	0.07	1.74	6.35	8.21	2.7	38.8	6.82	41.9
22	50	16	5.2	2.1	0.0735	12.0	0	0.08	0.63	0.70	5.51	6.92	1.8	42.2	7.3	50.8
23	45	25	6.9	0.9	0.0368	19.2	100	0.23	0.10	0.82	2.84	3.99	8	46.5	5.28	43.8
24	38.5	25	8.6	0.9	0.0469	10.0	0	0.27	0.19	2.29	6.51	9.26	4.8	55.4	6.41	26.2
25	44.5	33	8.5	1.7	0.0658	12.4	166.6	0.16	0.21	1.12	4.2	5.69	33.1	53.4	6.89	20.3

Table. 5. The relationships between the positive and negative factors demonstrated by a complete correlation coefficient matrix for 25 relevés

Vegetation Cover										
	Organic matter by Turin's method									
	**	**	0.62							
	**	**	0.65							
	0.65	0.91		Total N						
-0.07	-0.16	-0.28		Available P						
0.32	0.55	0.58	-0.05	Total of Exchange K,Na,Mg,Ca						
-0.23	-0.47	-0.44	0.17	**	-0.47		Exchange Al			
0.14	0.30	0.25	0.34	0.50	-0.68		pH			
0.00	0.33	0.46	0.13	0.26	-0.01	-0.21	Maximum water holding capacity			
0.01	0.23	0.32	-0.06	0.10	-0.13	0.19	0.19	Water content		
-0.33	0.30	0.34	-0.02	0.18	-0.30	0.16	0.30	0.48	Vegetation diversity	
-0.12	0.35	0.26	0.24	0.34	-0.09	-0.15	0.57	0.25	0.31	Organic matter by Loss on ignition
-0.37	0.27	0.39	0.03	-0.55	-0.30	-0.27	-0.56	-0.20	-0.38	-0.16
-0.15	-0.51	0.08	-0.21	0.13	-0.23	0.21	-0.02	0.32	0.22	0.27
-0.01	0.31	0.21	0.32	-0.36	0.40	-0.23	0.29	-0.01	0.23	0.03
0.15	0.25	0.30	-0.06	0.69	-0.19	0.08	0.45	-0.14	0.19	0.35
0.36	0.57	0.60	-0.06	0.99	-0.47	0.54	0.23	0.11	0.16	0.27
	**	**		**	**	**		**	**	**
	0.57	0.60	-0.06	0.99	-0.47	0.54	0.23	0.11	0.16	0.27
	0.33	0.61		0.11	0.16	0.27	-0.55	0.11	0.33	0.61



O.M: Organicmatter by loss on ignition

O.M: Organic matter by turin's method

N : Total N

M : Maximum water holdingcapacity

Mg : Exchange Mg

Ca : Exchange Ca

T.E : Total of Exchange K,Na,Mg,Ca

Al : Exchagne Al

Sa : Sand

Fig. 3. The soil factors connected by lines are positively and negatively correlated as determined by application of the correlation coefficient test.

#### 〈구름 1〉 그림 3의 오른쪽 부분

Turin's method에 의한 유기물, 질소, 치환성 Ca 및 치환성 K,Na,Mg,Ca 합계는 서로 양의 상관을 나타냄.

#### 〈구름 2〉 그림 3의 가운데 부분

치환성 Ca와 치환성 K,Na,Mg,Ca합이 치환성 Al과 도래에 대하여 음의 상관을 나타냄.

#### 〈구름 3〉 그림 3의 왼쪽부분

치환성 Ca와 치환성 K,Na,Mg,Ca합계는 치환성 Al에 대하여 음의 상관을 나타내지만 pH에 대하여서는 양의 상관을 나타냄.

#### 〈구름 4〉 그림 3의 위쪽부분

최대 용수량은 Loss on ignition에 의한 유기물과 질소에 대하여서는 양의 상관, 도래에 대하여서는 음의 상관을 나타냈으며 치환성 Mg은 치환성 Ca와 치환성 K,Na,Mg,Ca의 합계에 대하여 양의 상관, 도래에 대하여서는 음의 상관을 나타냄.

이러한 상관관계를 표 4의 측정치와 비교하여 보면 구름 1의 조건은 relvé 1~10지역에 해당하며, 구름 2의 조건은 relvé 11~18지역, 구름 3의 조건은 relvé 19~20지역에 구름 4의 조건은 relvé 20~25 특히 24,

25 지역에 해당됨을 알 수 있었다. 이러한 사실은  $\chi^2$ 에 의한 4구룹 형성이 토양요인의 4구룹 형성과 거의 일치하고 있어 토양환경구배가 본 조사에서 초본식 생구룹을 형성하는데 있어 큰 영향을 주었다고 사료된다.

표 5의 유의적인 토양요인중에서 피도와 유기물은  $r=0.62$ , 피도와 질소는  $r=0.64$ 이며  $p>1\%$ 로서 유의적이었다. 따라서 이지역내에서의 식물의 피도는 토양의 유기물과 질소가 많을수록 많이 덜여 있음을 알 수 있으며 또한 식생의 다양성과 합수량은  $r=0.48$ 로서 유의적이었으며, 이지역에서 종의 다양성은 합수량과 밀접한 관계가 있다고 사료된다.

치환성 K,Na,Mg,Ca의 합계와 치환성 Ca은  $r=0.99$ 로서 가장높은 상관을 보였으며, 다음으로 Turin's method에 의한 유기물과 총질소와의 관계는 유의적인 상관을 보여 주었는데 이것은朴(1977)의 결과와도 일치하였다.

치환성이온 K,Na,Mg,Ca의 합계는 토양 pH가 증가함에 따라 또한 유기물이 풍부한 곳에서는 더욱 증대하였는데 이것은 Cabrera & Talibvdeen(1977)의 주장과도 일치하였다. pH와 치환성 Al은  $r=-0.71$ 인 음의 상관을 보였는데 이것은 대부분의 토양에서 치환성 Al양이 많으면 산성으로 된다고 주장한 Millar(1951), Cabrera & Talibvdeen(1978)의 연구결과와 일치하였으며 치환성 Al양이 많은 relvé 11~19지역은 산성 토양을 만들므로 식물성장에 좋지못한 영향을 줄을 알 수 있었는데 이것은 Yoshii(1937) 주장과 일치하였다.

그리고 치환성 Ca가 부족하게되면 토양은 산성이었는데 이것은 Millar(1951) 주장과도 일치하였다. 최대 용수량은 모래에 대하여 음의 상관을 나타냈고 Loss on ignition에 의한 유기물에 대하여는 양의 상관을 나타내었는데 이것은 흡습수의 양은 토양입자가 적을수록 또는 유기물함량이 많을수록 많아진다는 사실과 일치한다(차 1973).

pH가 높아지면 치환성 Ca,Na량이 증대함을 나타냈는데 이것은 Millar(1951)의 주장과도 일치하였다. 표 5에서 유의적인 양과 음의 상관을 나타내는 토양의 작요인들은 토양의 일반적인 성질에 모두 합당하는 결과를 보였으며 이러한 사항은 다른요인들의 영향을 받은 상태에서 이루어진 결과이다.

## V. 결 론

강남고속터미널 주변의 야초지 식생조사와 토양분석 결과 얻어진 결론은 다음과 같다.

1.  $\chi^2$ 에 의한 야초지 식생(그림 2)을 도형화하였으며 이 도형에서 아래부분의 구룹식물(grouping plants)

은 표 1에서 relvé 1~10지역 식물과 가운데부분의 구룹식물은 relvé 11~18지역식물과 왼쪽부분에서 구룹식물은 relvé 19~20지역식물과 위쪽부분의 구룹식물은 relvé 21~25 특히 24, 25 지역식생과 거의 일치하였다.

2. 상관계수에 의한 토양의 요인을 도형으로 얻을수 있었으며 4구룹으로 구별되었다. 이 도형에서 아래쪽 부분은 표 4의 relvé 1~10지역의 토양성분과 가운데부분은 표 4의 relvé 11~18지역의 토양성분과 왼쪽부분은 relvé 19~20지역의 토양성분과 위쪽부분은 relvé 21~25지역의 토양성분과 거의 일치하였다.

3. 위와 같은 사실은 Turin's method에 의한 유기물, 질소, 치환성 Ca 및 치환성 K,Na,Mg,Ca의 합계가 많은지역(relvé 1~10)에서는 기장대풀속, 명아주, 서양도깨비바늘, 한삼덩굴, 돌피, 개갓냉이, 개여뀌, 소리쟁이, 뚝새풀, 양지꽃, 중대가리 및 개괴 식생을 형성하였으며 치환성 Ca와 치환성 K,Na,Mg,Ca의 합계가 적고 치환성 Al과 모래 함량이 많은 지역(relvé 11~18)에서는 바랭이, 쇠비름, 돌피 및 방동산이 식생을 형성하였고 치환성 Ca와 치환성 K,Na,Mg,Ca의 합계가 많고 pH가 높지만 치환성 Al가 적은 지역 relvé 19~20)에서는 방동산이대가리, 방동산이, 여뀌바늘, 물피, 고만이 및 벼드나무어린싹등의 식생을 형성하였고 작열손실에 의한 유기물, 치환성 Mg 및 최대 용수량이 많고 모래 함량이 적은 지역(relvé 21~25)에서는 차풀, 며느리배꼽, 강아지풀, 돌콩, 왕고들빼기, 금강아지풀, 사철쑥, 속, 실새풀, 매듭풀, 달맞이꽃, 제비쑥 및 김의털의 식생을 형성하였다.

4. 그러므로  $\chi^2$ 에 의한 식생구룹과 상관계수에 의한 토양환경구배요인 사이에는 밀접한 관계가 있음을 분명히 인지할 수 있었다.

## 참 고 문 현

- 農村振興廳 農業技術研究所(1973), 土壤調査便覽 第3卷(土壤分析編), 農村振興廳農業技術研究所 : 서울.
- 牧野富太郎(1965), 「日本植物図鑑」, Tokyo: Japan.
- 朴奉奎(1977), 한국 야초지 생태계의 보존에 관한 연구, Jour. Kor. Res. Inst. Bet. Liv., Vol. 18, pp. 21~40.
- 朴奉奎, 韓珍順(1978), 이화여자대학교 구내 야초지 식생의 Ordination에 관한 연구, Jour. Kor. Res. Inst. Bet. Liv., Vol. 20, pp. 7~19.
- 이영노(1976), 「한국동식물도감 제18권 식물편 : 계절식물」, 문교부.

6. 長田武正(1972), 「日本歸化植物圖鑑」, Tokyo: Japan.
7. 鄭英鎮(1977), 「實用現代統計學」, 經林出版社: 서울
8. 鄭台鉉(1956), 「韓國植物圖鑑」, 上·下卷, 新志社: 서울.
9. 車鍾煥, 金建洙(1973), 「農林氣象學」, 先文社: 서울.
10. Agnew, A.D.Q. (1961), The ecology of *Juncus effusus* L. in North Wales. *J. Ecol.*, 49 : 83 ~102.
11. Babu, V.R. (1971), Population dynamics of herbaceous communities of Pilani(Rajasthan), *Japan Journal of Ecology*, 21 : 87~95.
12. Cabresa, F. and Q. Talibudeen (1977), Effect of soil pH and organic matter on labile aluminium in soils under permanent, *The Journal of soil science*, 28 : 259~270.
13. De Vries, D.M. (1953), Objective combinations of species, *Acta bot. neerl.*, 1 : 497~99.
14. Coodall, D.W. (1953), Objective methods for the classification of vegetation. I. The use of positive interspecific correlation. *Aust. J. Bot.*, I, 39~63.
15. Greig-Smith(1961), Data on pattern within plant Communities. I.-The analysis of pattern. *J. ecol.*, 49 : 695~702.
16. HUBER, H.(1955), Über verbreitung und standortansprüche kalkfliehender moose in der umgebung basela und ihre bedeutung mit ehilf statistischer prüfverfahren. *Ber Schweiz. bot. Ges.*, 65 : 431~458.
17. Kershaw, K.A. (1973). *Quantitative and dynamic plant ecology*. Britain: (William Clowes & Sons.
18. Millar, C.E., L.M. Turk, AND H.D. Foth (1951), *Fundamentals of soil science*, 4nd., rev., Japan: Toppan Printing company.
19. Muller-Dombois and Heinz Ellenberg (1974), *Aims and method of vegetation ecology*, U.S.A.: John Wiley & Sons.
20. Oosting, H.J. (1956), *The study of plant communitys*, W.H. Freeman and Company: U.S.A.
21. Poore, M.E.D. (1956), The use of phytosociological methods in ecological investigations. IV. General discussion of phytosociological problems, *J. Ecol.*, 44 : 28~50.
22. Swan, J.M.A. and R.L. Dix (1966), The phytosociological structure of upland forest at candle lake, Saskatchewan, *J. Ecol.* 54 : 13~40.
23. Welch, J.R. (1960), Observations on deciduous woodland in the eastern province of TANGANYIKA, *J. Ecol.*, 48 : 557~70.
24. Williams, W.T. and T.M. Lambert (1959), Multivariate methods in plant ecology. I. Association-analysis in plant communities *J. Ecol.*, 47 : 83~101.
25. Williams, W.T. and T.M. Lambert (1960), Multivariate methods in plant ecology. II. The use of an electronic digital computer for association-analysis, *J. Ecol.*, 48 : 689~710.
26. Williams W.T. and T.M. Lambert (1961), Multivariate methods in plant ecology, III. Inverse association-analysis *J. Ecol.*, 49 : 717 ~29.
27. Williams, W.T. & M. B. Dale (1962), Partition correlation matrices for heterogeneous quantitative data. *Nature, Lond.*, 196 : 602.
28. Yoshii, Y. (1936), Aluminium requirements of solfatara-plants. *The Botanical Magajine*, LI : 262~70.

(accepted 16Dec. 1978)